

*Caratterizzazione delle rocce di copertura e completamento dell'analisi della
fratturazione nelle rocce del potenziale reservoir.*

Allegato 2

S. Bigi, M.-C. Tartarello, L. Ruggiero

Centro di ricerca Previsione, Prevenzione e Controllo dei Rischi Geologici - CERI

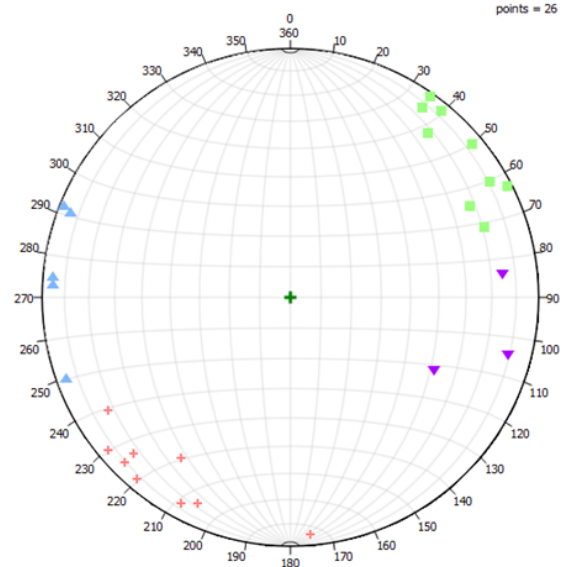
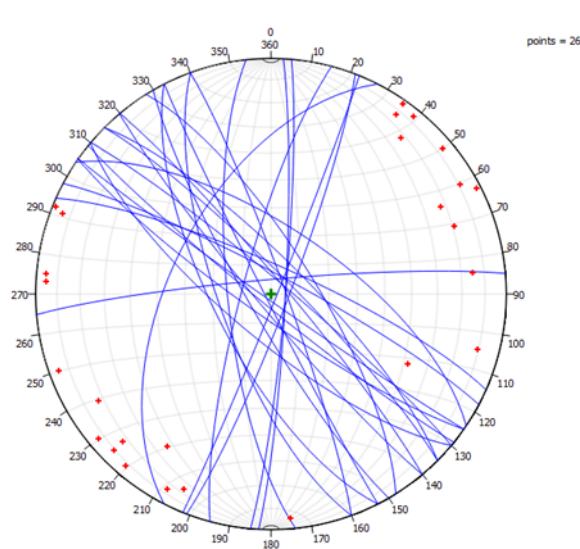
Settembre, 2016



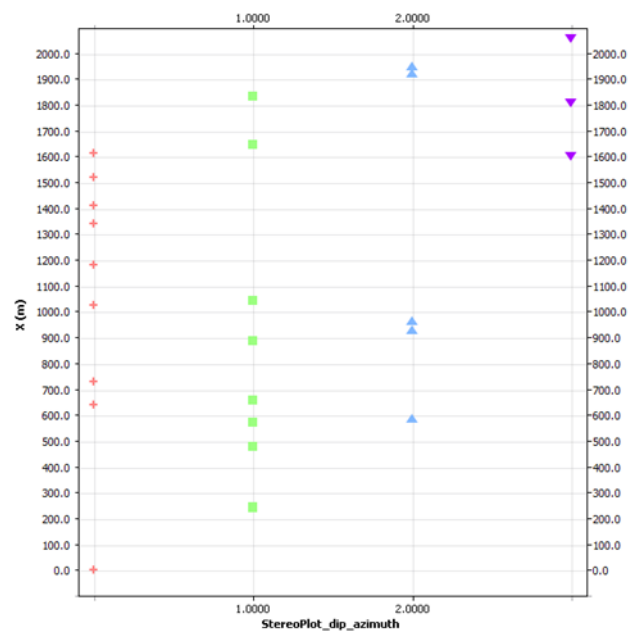
SAPIENZA
UNIVERSITÀ DI ROMA

PRESENTAZIONE DEI DATI DELLA FRATTURAZIONE.

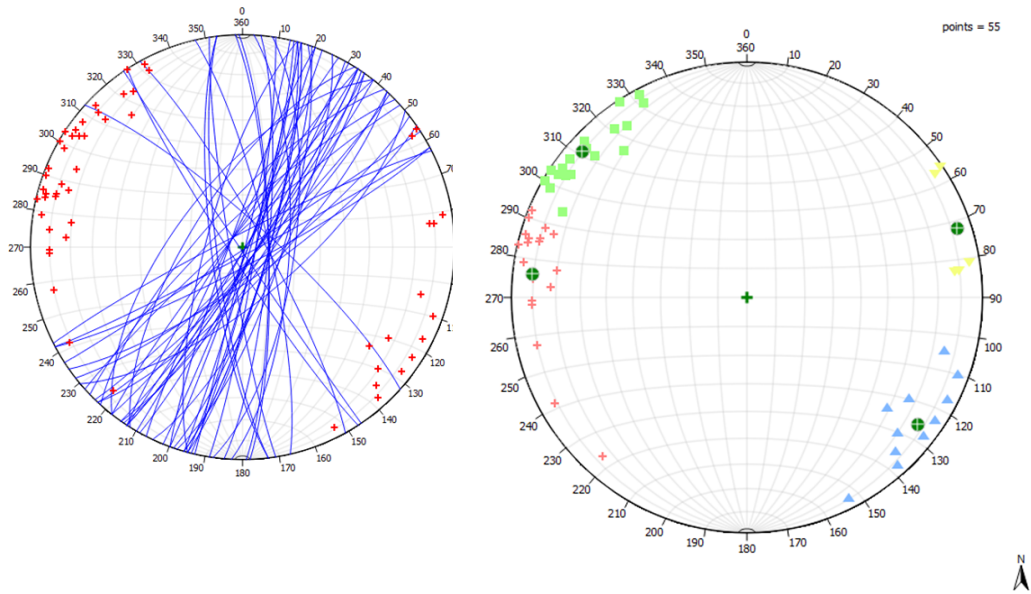
Scan line 1 – rioliti X=453726; Y= 4333008 direzione scan line N35E



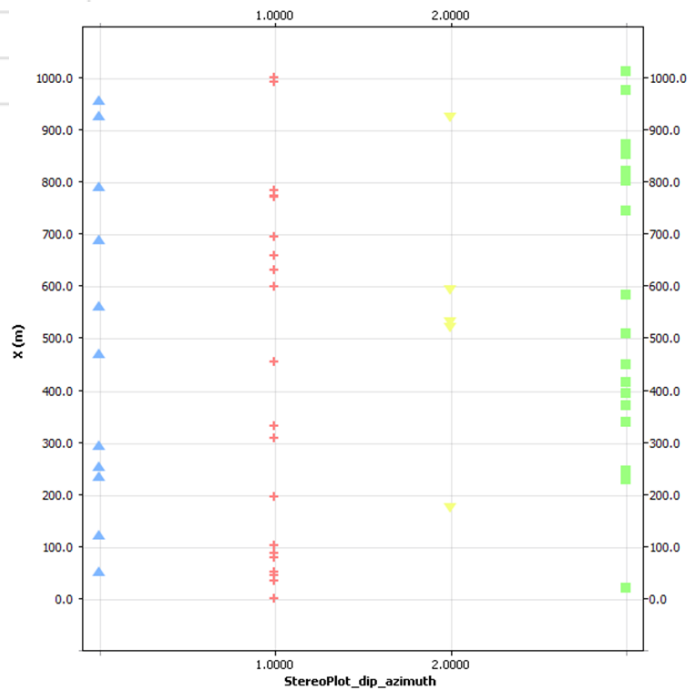
	S	Dip	Azimuth	Distortion
0	▼	69.52	281.26	0.24
1	+	79.66	35.67	0.86
2	■	80.66	230.40	0.55
3	▲	85.23	96.32	0.35



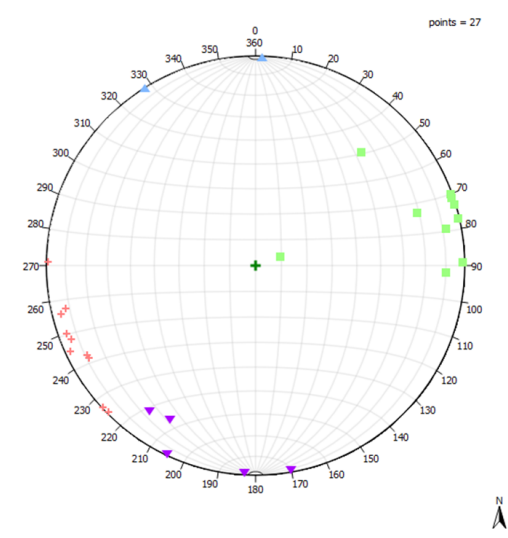
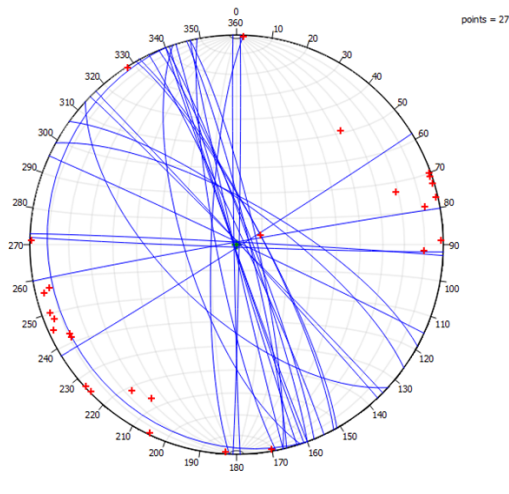
Scan line 2 – rioliti; X=452079; Y= 4331390; direzione scan line N84E



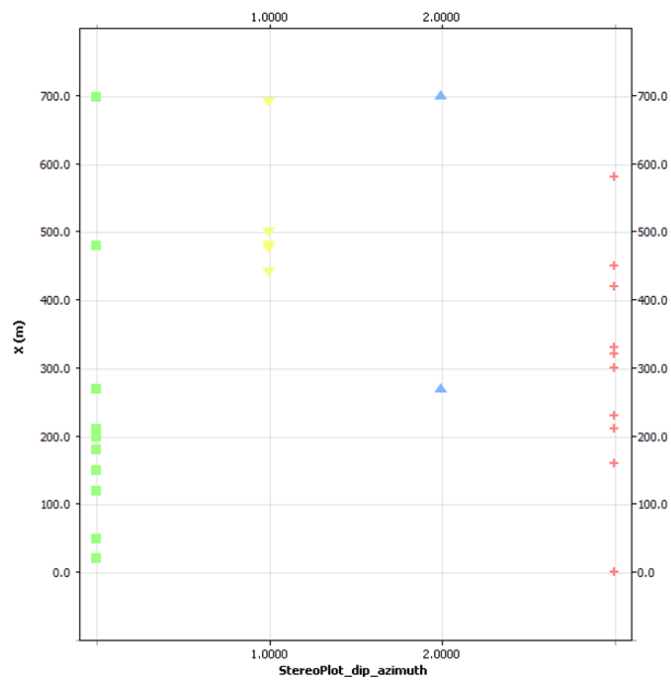
	S	Dip	Azimuth	Distortion
0	▲	79.39	306.56	0.68
1	+	80.86	96.31	1.81
2	▼	83.24	251.96	0.26
3	■	82.55	131.69	0.84



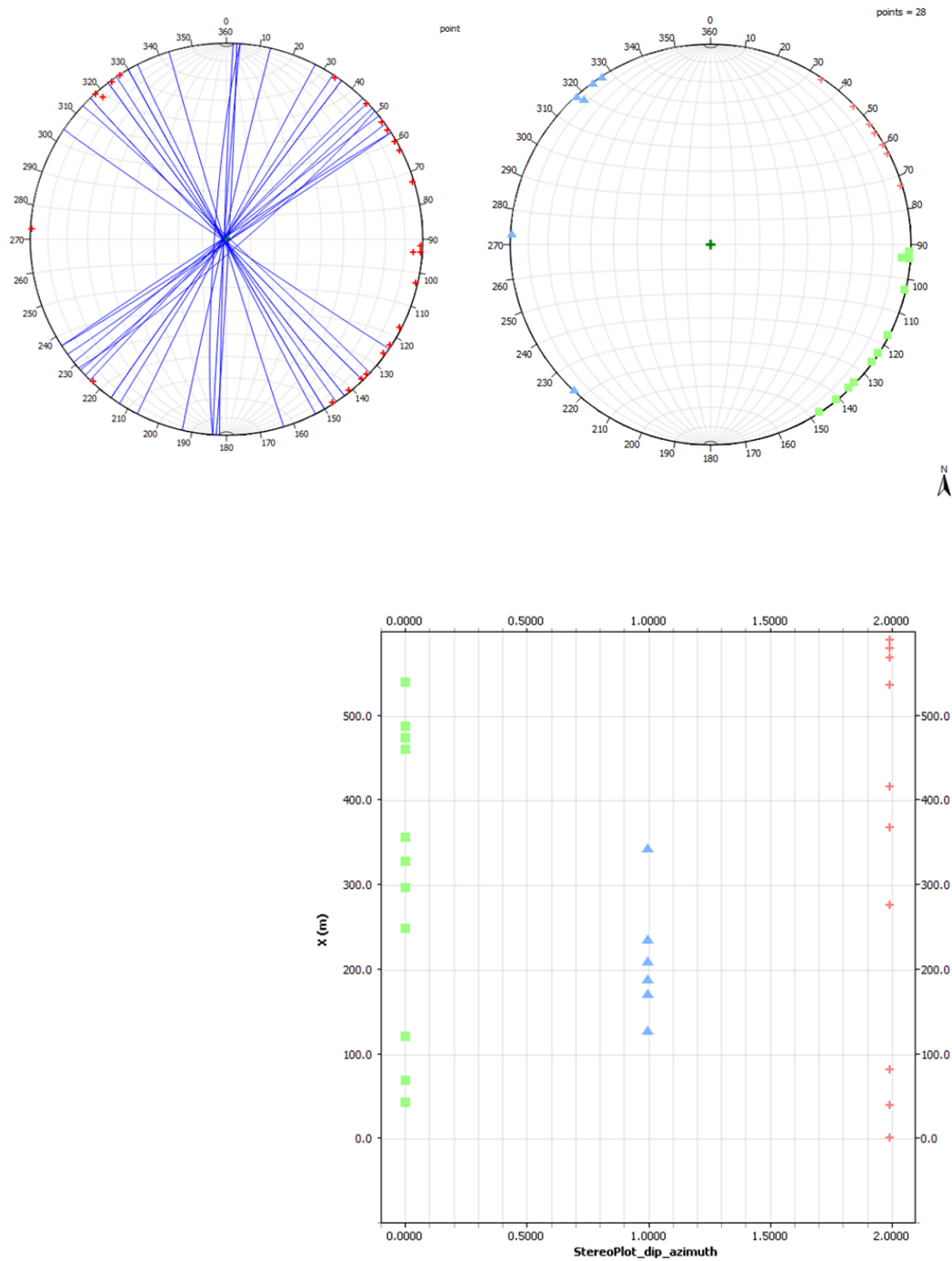
Scan line 3 – Cixerri; X=460184; Y= 4653091; direzione scan line N40E



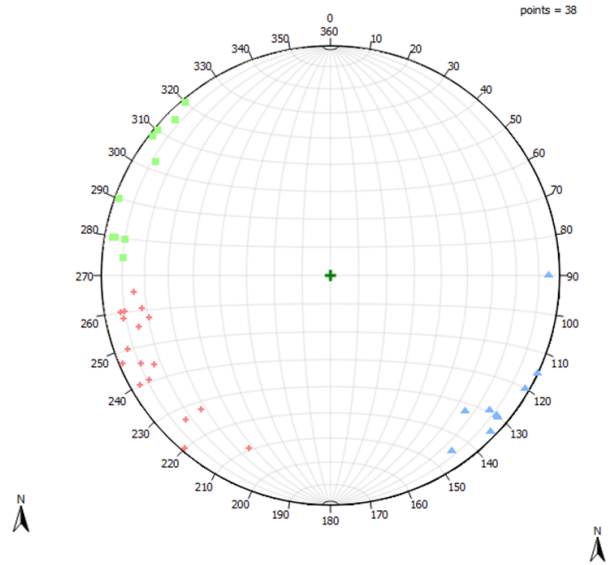
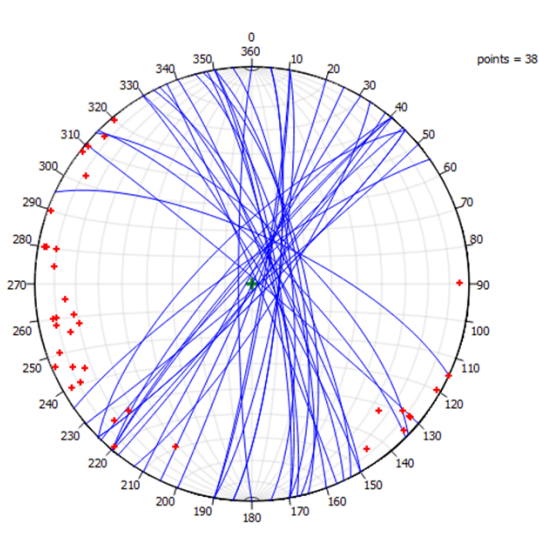
S	Dip	Azimuth	Distortion
0	76.02	254.38	1.85
1	82.68	16.47	0.51
2	88.95	165.00	0.17
3	84.87	66.19	0.54



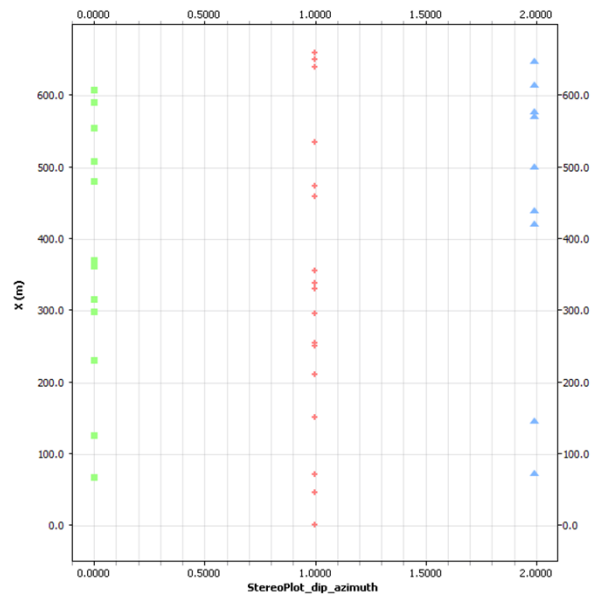
Scan line 4 – andesiti; X=468639; Y= 4330319; direzione scan line N80W



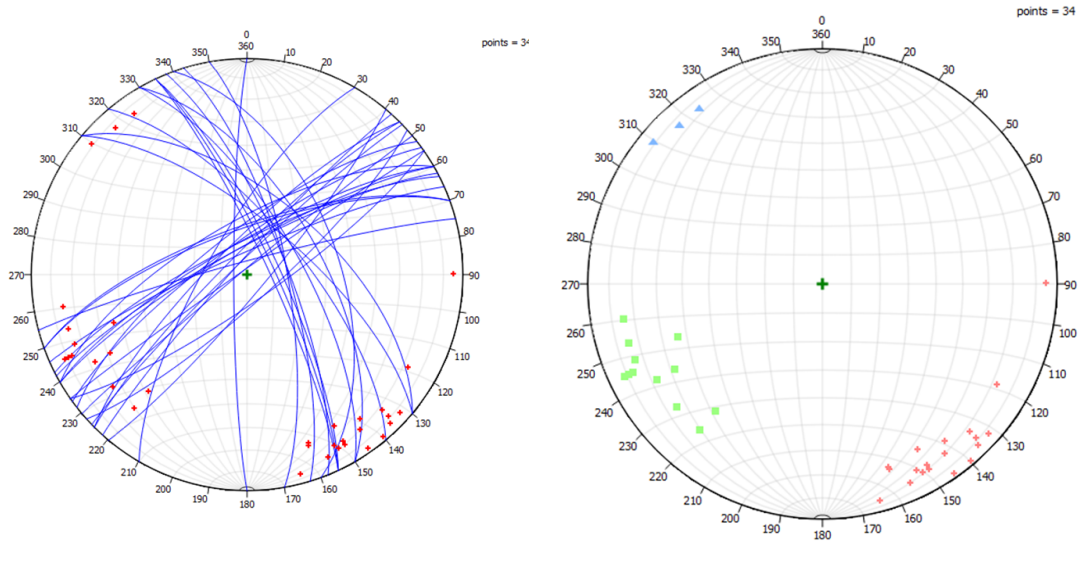
Cava Cixerri – scan line 5; X = 454411; Y = 4338061; Direzione scan line NS



	S	Dip	Azimuth	Distortion
0	■	84.17	115.97	1.02
1	+	78.00	64.58	1.44
2	▲	83.46	305.58	0.65



Cava Cixerri – scan line 6; X = 454376; Y = 4338196; Direzione scan line N50W



	S	Dip	Azimuth	Distortion
0	■	70.64	61.57	0.67
1	+	79.37	323.18	1.60
2	▲	80.95	137.65	0.04

